

## СПИНОВОЕ ЭХО В СИСТЕМЕ СВОБОДНЫХ ЭЛЕКТРОНОВ ПОЛУПРОВОДНИКА

Волков А. С., Липко А. Л., Меретлиев Ш. М., Царенков Б. В.

Теоретически и экспериментально исследовано новое явление — спиновое эхо в системе свободных электронов полупроводника.

Такое эхо возникает в системе оптически ориентированных по спину электронов в варизонном полупроводнике *p*-типа, в котором *g*-фактор электронов линейно зависит от координаты *x* в направлении градиента ширины запретной зоны  $\nabla E_g$ , и на некотором расстоянии от широкозонной поверхности в точке  $x_0$  изменяет знак. Полупроводник находится в однородном постоянном магнитном поле **H**, перпендикулярном  $\nabla E_g$ . Электроны, ориентированные по спину, генерируются на широкозонной поверхности полупроводника и дрейфуют в варизонном поле; при этом их спины прецессируют в магнитном поле. Эффект спинового эха заключается в том, что в точке  $x_e = 2x_0$  ориентация электронных спинов всегда независимо от величины магнитного поля оказывается такой же, как и на широкозонной поверхности, где они возбуждаются.

Основные закономерности спинового эха экспериментально изучены методом поляризованной фотолюминесценции в варизонных структурах *p*-GaAlAs.

Показано качественное и количественное согласие эксперимента с теорией.

1. Данная работа посвящена дальнейшему изучению спинового эха в системе свободных электронов варизонного полупроводника, теоретически предсказанного в [1] и экспериментально обнаруженного в [2].

Эхо (в обобщенном понимании) — это вторичный сигнал, повторяющий характерные черты первичного (исходного) сигнала и возникающий самопроизвольно в физической системе в результате обратного развития во времени того процесса, которым обусловлен данный вид эха.

Спиновое эхо — это самопроизвольное возникновение в спиновой системе, в которой первоначально ориентированные спины разупорядочились по направлению, такой ориентации спинов, которая повторяет первоначальную. В явлениях спиновых эхо (например, спинового эха в ЯМР и ЭПР спектроскопии) обратно во времени развивается вся картина прецессии спинов. Ключевой операцией, обеспечивающей такой ход развития системы спиноносителей, является операция инверсии направления прецессии спинов.

2. Рассмотрим возникновение спинового эха в системе свободных электронов в полупроводнике, находящемся в магнитном поле.

Возьмем, например, варизонный полупроводник *p*-типа, в котором *g*-фактор электронов (фактор Ланде) зависит от координаты (вследствие координатной зависимости величины спин-орбитального взаимодействия электронов зоны проводимости с носителями, расположеннымими в других энергетических зонах). Пусть *g*-фактор линейно изменяется с координатой *x* в направлении градиента ширины запретной зоны  $\nabla E_g$ , и на некотором расстоянии от широкозонной поверхности в точке  $x_0$  изменяет знак (рис. 1). Полупроводник находится в однородном постоянном магнитном поле, вектор напряженности которого **H** направлен по оси *z*, т. е. перпендикулярен  $\nabla g$  ( $\nabla E_g$ ), а величина произвольна.

На широкозонной поверхности полупроводника циркулярно поляризованным светом стационарно генерируются ориентированные по спину электроны — первичный сигнал (рис. 2, *a*). Неравновесные электроны дрейфуют в варизон-

ном поле и их спины прецессируют в магнитном поле с угловой скоростью  $\Omega = \mu_B g H / \hbar$ , где  $\mu_B$  — электронный магнетон Бора,  $\hbar$  — постоянная Планка. Пусть вектор спиновой плотности электронной системы  $S$  в процессе дрейфа электронов от широкозонной поверхности к точке  $x_0$ , где  $g=0$ , вращается по часовой стрелке. Тогда, пройдя точку  $x_0$ , вектор  $S$  из-за пространственной инверсии знака  $g$ -фактора электронов будет вращаться уже против часовой стрелки, т. е. в точке  $x_e$  произойдет инверсия направления прецессии электронных спинов. В результате в точке  $x_e$ , являющейся при постоянной скорости дрейфа электронов зеркальным отражением точки генерации спинов  $x=0$  относительно точки  $x_0$  ( $x_e = 2x_0$ ), ориентация электронных спинов, т. е. фаза вектора  $S$ , окажется такой же, как и на широкозонной поверхности, независимо от величины  $H$ , т. е. независимо от числа оборотов вектора  $S$  в процессе дрейфа электронов до точки  $x_0$ .

Фаза вектора  $S$  при заданной величине  $H$  может совпадать с фазой  $S$  на широкозонной поверхности не только в точке  $x_e$ , но и в других точках  $x$ , однако положение этих точек будет разным при разных  $H$ .

Таким образом, в любой точке  $x$ , за исключением двух особых точек —  $x=0$  и  $x_e$ , фаза вектора  $S$  зависит от  $H$ .

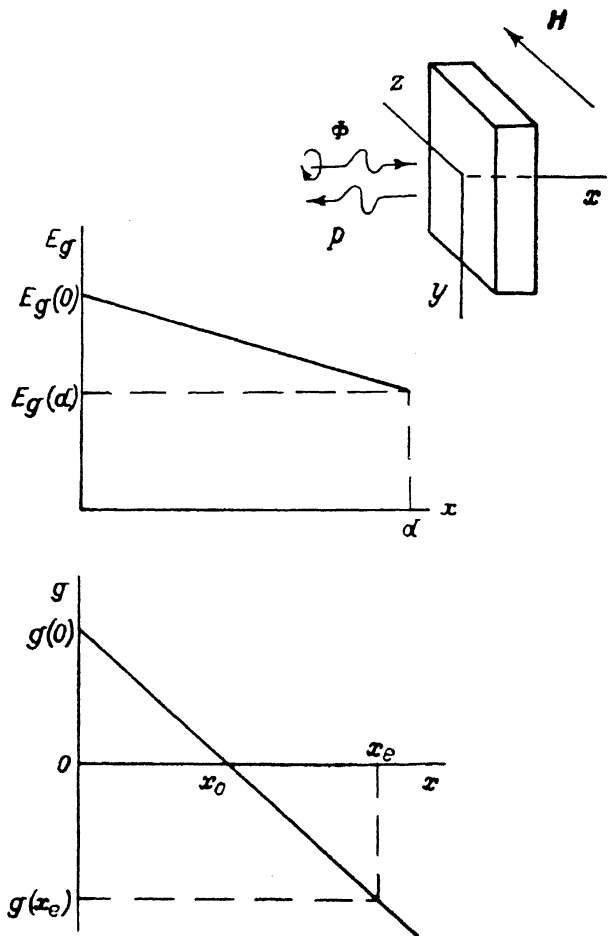


Рис. 1. Зависимости ширины запретной зоны  $E_g$  и  $g$ -фактора электронов от координаты  $x$  в варизонной структуре.

На вставке — взаимное расположение варизонной структуры и вектора напряженности магнитного поля  $H$  относительно координатных осей.  $\Phi$  и  $P$  — возбуждающее и рекомбинационное излучения.

Следовательно, в переменном либо в неоднородном по координате  $y$  магнитном поле средняя по времени либо по координате  $y$  величина вектора спиновой плотности  $\langle S \rangle$  будет существенно отличаться от нуля только вблизи широкозонной поверхности полупроводника (первичный сигнал) и в окрестности точки  $x_e$  (вторичный сигнал — эхо) и будет близка к нулю из-за разупорядочения спинов при всех других  $x$  (рис. 2, б).

Итак, из-за пространственной инверсии знака  $g$ -фактора электронов происходит инверсия направления угловой скорости прецессии электронных спинов  $\Omega$ , что приводит к обратному развитию во времени всей картины прецессии спинов и в результате — к самопроизвольному возникновению в точке  $x_e$  такой ориентации электронных спинов, которая повторяет первоначальную, т. е. к возникновению эхо-сигнала.

3. Дадим математическое описание спинового эха.

Задачу нахождения распределения вектора спиновой плотности в полупроводнике будем рассматривать для следующих условий (рис. 1):

—  $g$ -фактор электронов линейно зависит от координаты  $x$  и в некоторой точке  $x_0$  изменяет знак;

- $E_g$  линейно уменьшается в направлении оси  $x$ ;
- вектор  $\mathbf{H}$  направлен по оси  $z$ ;
- электронные спины генерируются на широкозонной поверхности полупроводника, так что вектор  $\mathbf{S}$  при генерации направлен по оси  $x$ ;
- подвижность электронов  $\mu$ , время жизни электронов  $\tau$  и время спиновой релаксации  $\tau_s$  не зависят от координат.

Распределение проекций  $S_x$  и  $S_y$  вектора  $\mathbf{S}$  вдоль оси  $x$  находится в диффузионно-дрейфовом приближении из системы уравнений [1]

$$\begin{aligned} L_s^2 \frac{d^2 S_x}{dx^2} - l_s \frac{dS_x}{dx} - S_x - \Omega(0) T_s \left(1 - \frac{x}{x_0}\right) S_y &= 0, \\ L_s^2 \frac{d^2 S_y}{dx^2} - l_s \frac{dS_y}{dx} - S_y + \Omega(0) T_s \left(1 - \frac{x}{x_0}\right) S_x &= 0, \end{aligned} \quad (1)$$

где  $L_s = \mu T_s kT/e$  — диффузационная,  $l_s = \mu T_s |\nabla E_g|/e$  — дрейфовая длины электронных спинов;  $\Omega(0)$  — значение  $\Omega$  на широкозонной поверхности;  $T_s$  — время жизни магнитного момента системы неравновесных электронов, связанное с  $\tau$  и  $\tau_s$  соотношением  $T_s^{-1} = \tau^{-1} + \tau_s^{-1}$ ;  $e$  — заряд электрона;  $k$  — постоянная Больцмана;  $T$  — абсолютная температура.

Решение системы (1), в котором проявилось спиновое эхо, было получено в [1] численным методом. В [1] было также дано и аналитическое решение системы (1), представляющее собой комбинацию функций Бесселя и оказавшееся трудным для анализа.

Ясное аналитическое решение нашей задачи может быть получено в дрейфовом приближении (т. е. без учета диффузии электронов), на котором мы и остановимся.

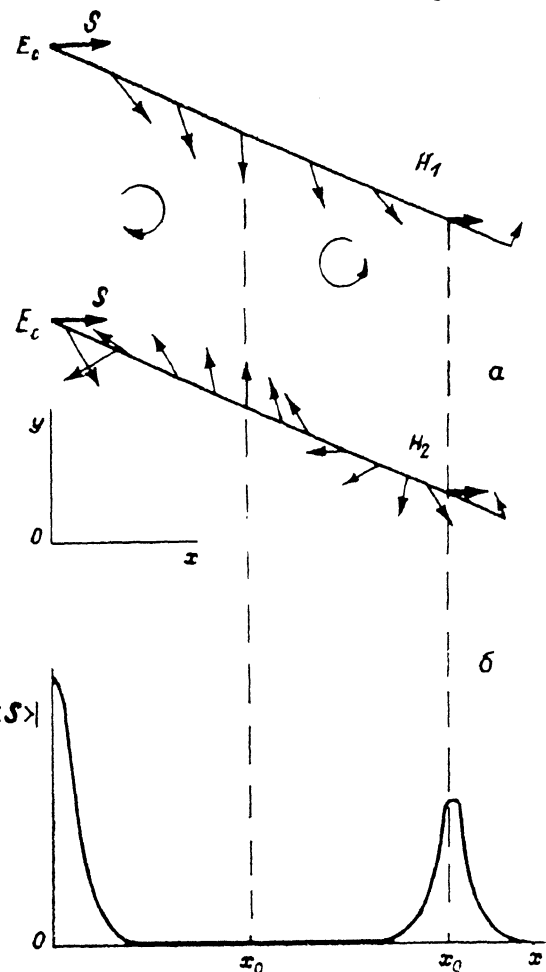


Рис. 2. Схематическое изображение возникновения спинового эха в постоянном магнитном поле  $H$  (а): показаны дрейф ориентированных по спину электронов по дну с-зоны  $E_c$  и положение вектора  $\mathbf{S}$  в плоскости  $xy$  при различных  $x$  (для двух значений  $H$ :  $H_2 > H_1$ ); проявление спинового эха в переменном (или неоднородном по оси  $y$ ) магнитном поле (б).

В этом случае  $S_x(x, H)$  и  $S_y(x, H)$  принимают вид

$$\begin{aligned} S_x &= \frac{GT_s}{l_s} \exp\left(-\frac{x}{l_s}\right) \cos\left[\Omega(0) T_s \frac{x}{l_s} \left(1 - \frac{x}{2x_0}\right)\right], \\ S_y &= \frac{GT_s}{l_s} \exp\left(-\frac{x}{l_s}\right) \sin\left[\Omega(0) T_s \frac{x}{l_s} \left(1 - \frac{x}{2x_0}\right)\right], \end{aligned} \quad (2)$$

где  $G$  — скорость генерации вектора  $\mathbf{S}$  на единичной площади.

$S_x(x, H)$  и  $S_y(x, H)$  при фиксированном  $H$  представляют собой экспоненциально затухающие ангармонические функции от  $x$ .

$S_x(x, H)$  и  $S_y(x, H)$  при фиксированном  $x$  являются гармоническими функциями от  $H$  для всех  $x$ , кроме двух особых точек —  $x=0$  и  $x=x_e=2x_0$ . В этих точках  $S_x(0, H)=GT_s/l_s$ ,  $S_x(x_e, H)=\exp(-x_e/l_s)GT_s/l_s$  и  $S_y(0, H)=0$ ,  $S_y(x_e, H)=0$  независимо от величины  $H$ .

Усреднение  $S_x$  и  $S_y$  по времени, если магнитное поле переменное, либо по пространству, если магнитное поле неоднородное, приводит, например, в случае линейного изменения  $H$  от 0 до  $H_m$  к следующему результату для усредненных проекций  $\langle S_x \rangle$  и  $\langle S_y \rangle$ , нормированных на их значения при  $H=0$ :

$$\left. \begin{aligned} \langle S_x \rangle &= \frac{1}{S_x(x, 0) H_m} \int_0^{H_m} S_x(x, H) dH = 1, \\ \langle S_y \rangle &= 0 \end{aligned} \right\} \text{при } x=0, x=x_e, \quad (3)$$

$$\left. \begin{aligned} \langle S_x \rangle &= \frac{\sin \left[ \Omega_m(0) T_s \frac{x}{l_s} \left( 1 - \frac{x}{2x_0} \right) \right]}{\Omega_m(0) T_s \frac{x}{l_s} \left( 1 - \frac{x}{2x_0} \right)}, \\ \langle S_y \rangle &= \frac{\sin^2 \left[ \frac{1}{2} \Omega_m(0) T_s \frac{x}{l_s} \left( 1 - \frac{x}{2x_0} \right) \right]}{\frac{1}{2} \Omega_m(0) T_s \frac{x}{l_s} \left( 1 - \frac{x}{2x_0} \right)} \end{aligned} \right\} \text{при } x \neq 0, x \neq x_e,$$

где  $\Omega_m(0) = g(0) \mu_B H_m / \hbar$ . Из (3) видно, что при больших  $H$  и  $x \neq 0, x \neq x_e$  усредненные проекции  $\langle S_x \rangle \rightarrow 0$  и  $\langle S_y \rangle \rightarrow 0$ . Следовательно, величина вектора средней спиновой плотности  $|\langle S \rangle| = [\langle S_x \rangle^2 + \langle S_y \rangle^2]^{1/2}$  существенно отличается от нуля только вблизи широкозонной поверхности и в окрестности точки  $x_e$ , а направление  $\langle S \rangle$  в этих областях совпадает.

Итак, в точке  $x_e$  мы имеем спиновое эхо.

Координата спинового эха  $x_e$  определяется расстоянием от широкозонной поверхности до точки смены знака  $g$ -фактора электронов  $x_0 = g(0) |dg/dx|^{-1}$ , поскольку  $x_e = 2x_0$ . Вариации величин  $g(0)$  и  $|dg/dx|$ , вызывающие изменение координаты точки  $x_0$ , смещают и координату спинового эха  $x_e$ .

Амплитуда эхо-сигнала тем больше, чем меньше успел релаксировать по абсолютной величине вектор  $S$  за время дрейфа электронов от широкозонной поверхности до точки  $x_e$ .

4. Сравним спиновое эхо в системе свободных электронов полупроводника со спиновым эхом в ЯМР и ЭПР спектроскопии [3, 4].

Проследить аналогию между этими видами спинового эха можно, рассмотрев спиновое эхо в системе свободных электронов в неоднородном по оси  $y$  магнитном поле при возбуждении широкозонной поверхности варизонного полупроводника импульсом света (это соответствует первому СВЧ импульсу в ЯМР и ЭПР эхе) (рис. 3). На рис. 3 схематически изображены распределение векторов спиновой плотности по оси  $y$  и средняя спиновая плотность в пакете электронов в различные моменты времени  $t$  (при различных значениях  $x$ ). Поскольку пакет электронов как целое дрейфует в варизонном поле (для наглядности будем пренебречь диффузией) с постоянной, не зависящей от ориентации спинов скоростью  $V$ , а электронные спины из-за неоднородности магнитного поля прецессируют с разными скоростями, происходит расфазировка спинов во всем ансамбле электронов без расплывания пакета. При достаточно большом  $dH_z/dy$  к моменту времени  $t_1 = x_0/V$  расфазировка настолько велика, что средняя спиновая плотность близка к нулю. При  $t=t_1$  происходит изменение направления прецессии спинов (момент времени  $t_1$  соответствует подаче второго СВЧ импульса в ЯМР и ЭПР эхе), и с момента  $t_1$  до  $t_2 = 2t_1 = x_e/V$  происходит настройка фаз спинов, так что при  $t=t_2$  в точке  $x_e$  все они оказываются ориентированными так же, как и при возбуждении; при  $t > t_2$  спины снова и уже окончательно расфазируются.

Главное отличие спинового эха в варизонном полупроводнике от ЯМР и ЭПР эха состоит в том, что существенно необходимая для реализации эффекта

инверсия направления прецессии спинов в варизонном полупроводнике происходит по внутренней, присущей самому объекту причине, а именно из-за изменения в процессе дрейфа электронов знака их  $g$ -фактора (вследствие изменения с координатой величины спин-орбитального взаимодействия), тогда как

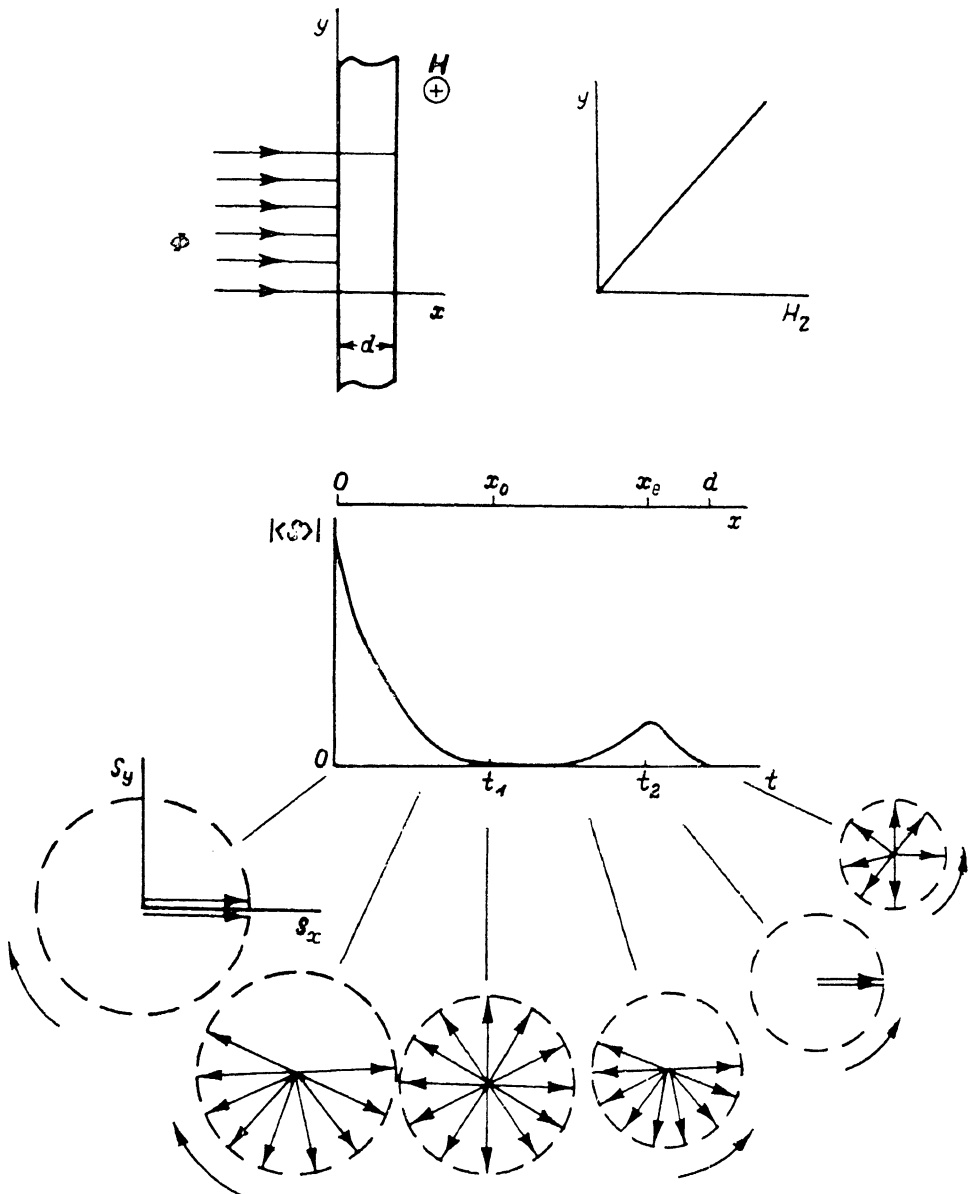


Рис. 3. Возникновение спинового эха в системе свободных электронов в варизонном полупроводнике, помещенном в магнитное поле, направленное по оси  $z$  и неоднородное по оси  $y$ , при импульсном возбуждении электронных спинов.

в ЯМР и ЭПР эхе для инверсии знака прецессии спинов нужно подать внешние СВЧ импульсы определенных длительности и частоты.

Другой отличительной особенностью спинового эха в варизонном полупроводнике является то, что оно пространственно отделено от места возбуждения электронных спинов, поскольку реализуется в системе подвижных носителей. Это свойство (пространственная удаленность) и позволяет наблюдать спиновое эхо в режиме стационарного возбуждения.

5. Прямым методом экспериментального исследования спинового эха в системе свободных электронов варизонного полупроводника является метод поляризованной фотолюминесценции, которым оно и было обнаружено [2].

Метод поляризованной фотолюминесценции основан на связи между спектральной плотностью циркулярно поляризованного рекомбинационного излучения  $P(h\nu)$ , регистрируемого со стороны широкозонной поверхности варизонного полупроводника, и проекцией  $S_x(x)$  вектора  $\mathbf{S}$  на направление  $\nabla E_g$  [5].

В простейшем случае, когда полушириной спектра поляризованного излучения элементарного излучателя  $\gamma_s$  можно пренебречь (это допустимо, когда  $\gamma_s \ll S_x |\nabla E_g| |dS_x/dx|^{-1}$ ),  $P(h\nu)$  связано с  $S_x(x)$  прямо пропорциональной зависимостью [5]

$$P(h\nu) \sim S_x(x_s)/|\nabla E_g|, \quad (4)$$

где  $x_s$  — точка полупроводника, в которой максимум спектра рекомбинационного излучения расположен при энергии  $h\nu$ . Например, при  $|\nabla E_g| = \text{const}$  и межзонной излучательной рекомбинации  $x_s = [E_g(0) - h\nu]/|\nabla E_g|$ .

Когда величиной  $\gamma_s$  пренебречь нельзя, связь  $P(h\nu)$  с  $S_x(x_s)$  становится более сложной, чем (4). Учесть влияние конечной величины  $\gamma_s$  можно, если задать конкретный вид спектра элементарного излучателя  $B(h\nu, x)$ , например, в виде Гауссовой кривой

$$B(h\nu, x) = \frac{2|\nabla E_g|}{\gamma_s} \frac{\ln 2}{\pi} \exp \left[ -\frac{4 \ln 2 |\nabla E_g|^2}{\gamma_s^2} (x - x_s)^2 \right],$$

$$\int_{-\infty}^{\infty} B(h\nu, x) dx = 1. \quad (5)$$

Тогда спектр поляризованной фотолюминесценции вычисляется по формуле

$$P(h\nu) = \int_0^{\infty} B(h\nu, x) S_x(x) dx. \quad (6)$$

Серии кривых  $P(h\nu)$ , рассчитанные по (6) для дрейфового случая, при различных значениях параметров  $\Omega(0)$   $T_s$  и  $\Gamma = \gamma_s/|\nabla E_g| x_0$ , а также соответствующие кривые  $S_x(x_s)$  приведены на рис. 4. Видно, что с ростом  $\Gamma$  и  $\Omega(0)$   $T_s$  изменения  $P(h\nu)$  относительно  $S_x(x_s)$  увеличиваются; наиболее сильно изменяются амплитуда и спектральное положение максимума, соответствующего излучению из приповерхностной области полупроводника.

Проявления спинового эха в спектрах  $P(h\nu)$  вытекают из рассмотренных выше особенностей зависимостей  $S_x$  от  $x$  и  $H$ .

В однородном постоянном магнитном поле  $H$  стационарные спектры  $P(h\nu)$  будут представлять собой ангармонические знакопеременные осциллирующие функции. В сериях спектров  $P(h\nu)$ , снятых при различных значениях  $H$ , будут выделяться два экстремума, расположенных в спектральных точках  $h\nu(0)$  и  $h\nu_e$ , соответствующих излучению из приповерхностной области полупроводника и из области спинового эха; направление циркулярной поляризации рекомбинационного излучения в этих экстремумах одинаково и не зависит от  $H$ .

В переменном (или неоднородном магнитном поле) при усреднении люминесцентного сигнала по времени (или по координате) поляризация излучения будет подавляться для всех  $h\nu$ , при которых знак сигнала зависит от  $H$ , так что останутся лишь две полосы поляризованного излучения: одна, соответствующая возбуждению, и другая — спиновому эху.

Мы рассмотрели сущность и проявления спинового эха в системе свободных электронов на примере варизонной структуры. Отметим, что в принципе спиновое эхо можно реализовать и на  $p-p$ -гетероструктуре, состоящей из двух полупроводников с различающимися по знаку  $g$ -факторами электронов. Однако два обстоятельства делают гетероструктуру менее подходящим объектом для наблюдения спинового эха, чем варизонный полупроводник. Во-первых, разрыв

в зоне проводимости будет приводить к дополнительной деполяризации электронных спинов, и, во-вторых, для обнаружения эха наблюдение вдоль оси  $x$

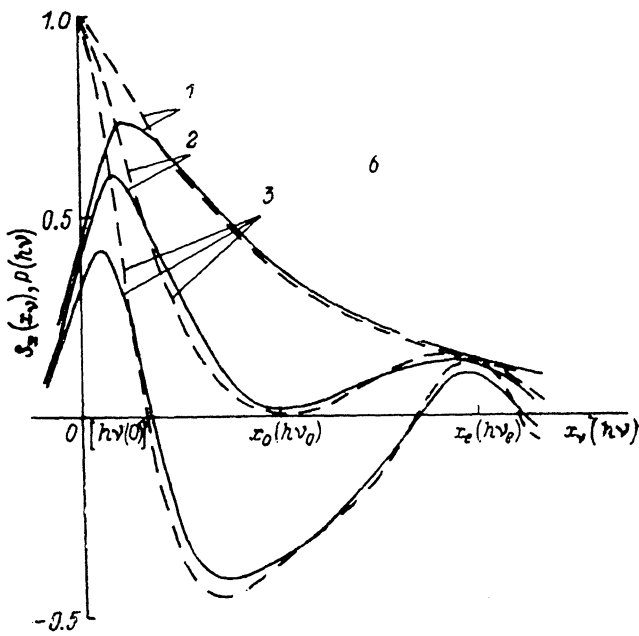
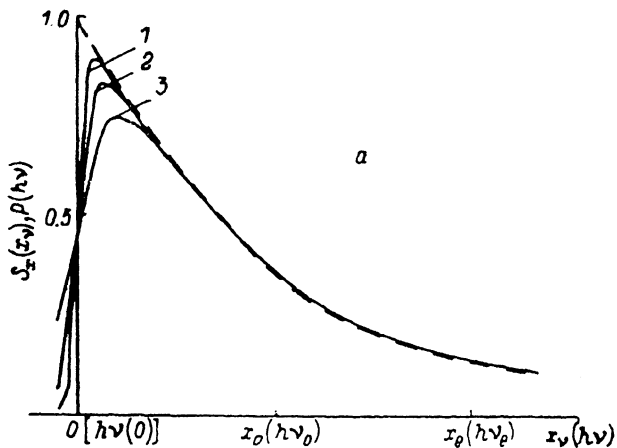


Рис. 4. Расчетные кривые  $P(h\nu)$  (сплошные) и  $S_x(x_v)$  (штриховые) при  $l_s = x_0$ .  
а) при  $\Omega(0) T_s = 0$  в различных значениях  $\Gamma = \gamma_s (|\nabla E_g| x_0)^{-1}$ . Г: 1 —  $1/10$ , 2 —  $1/6$ , 3 —  $1/3$ . б) при  $\Gamma = 1/\pi$  и различных значениях  $\Omega(0) T_s$ .  $\Omega(0) T_s$ : 1 — 0, 2 —  $\pi$ , 3 — 6.

уже неприемлемо из-за того, что все точки внутри каждой из областей гетероструктуры энергетически эквивалентны; необходимо измерять люминесценцию вдоль оси  $y$ , сканируя узкой щелью вдоль оси  $x$ . Если учесть весьма малые

Параметры исследуемых структур ( $T=300$  К)

№ структуры	$E_g(0)$ , эВ	$E_g(d)$ , эВ	$ \nabla E_g $ , эВ/см	$g(0)$	$g(d)$	$ dg/dx $ , $\text{см}^{-1}$
1	1.79	1.43	200	0.43	-0.44	380
2	1.79	1.43	360	0.43	-0.44	650

характерные длины протягивания электронных спинов, то это трудно выполнимая задача.

6. Объектами исследования служили варизонные структуры  $p\text{-GaAlAs : Zn}$  [ $p \approx 10^{17} \text{ см}^{-3}$  (300 K)] с различными градиентами ширины запретной зоны  $|\nabla E_g|$  и  $g$ -фактора электронов  $|\nabla g|$  (см. таблицу).

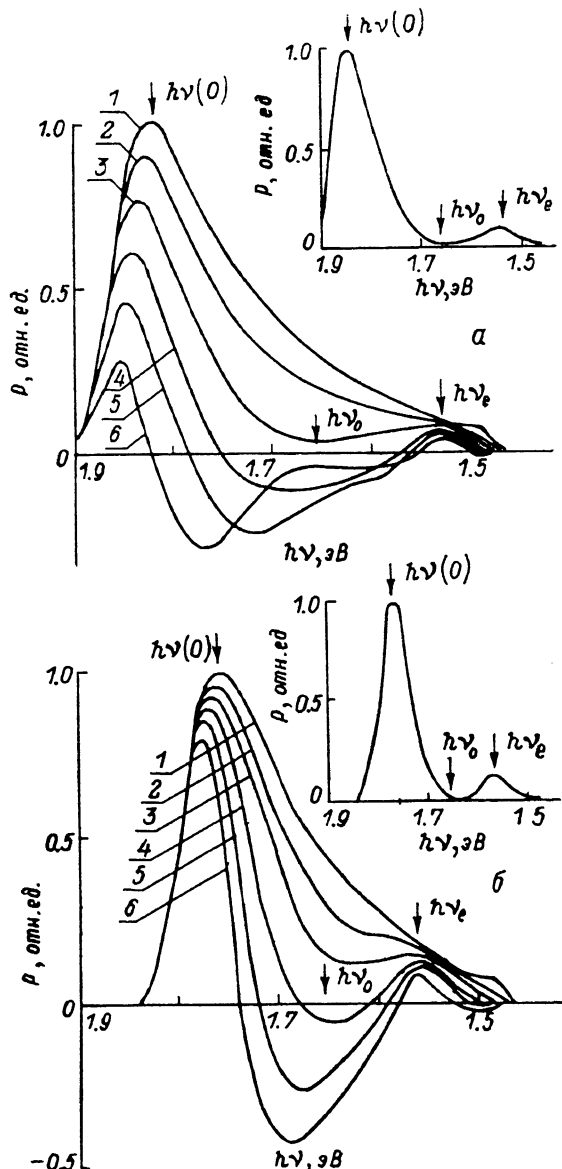


Рис. 5. Спектры поляризованной фотолюминесценции структуры 1 при  $T=14$  К и различных магнитных полях  $H$  до (a) и после (б) травления.

$H$ , кЭ: 1 — 0, 2 — 2, 3 — 3, 4 — 4, 5 — 5, 6 — 6.

Зависимости  $E_g$  и  $g$  от координаты  $x$  в этих структурах определялись по координатной зависимости содержания AlAs в них  $X(x)$ , полученной методом рентгеновского микроанализа, и известным данным для  $E_g(X)$  [6] и  $g(X)$  [7] в твердых растворах  $\text{Ga}_{1-x}\text{Al}_x\text{As}$ . Отметим, что в исследуемых структурах зависимости  $E_g$  и  $g$  от координаты  $x$  незначительно отличаются от линейных: с удалением от широкозонной поверхности и  $|\nabla E_g|$ , и  $|\nabla g|$  несколько уменьшаются. В таблице даны значения  $|\nabla E_g|$  и  $|\nabla g|$ , усредненные по координате  $x$ .

Ориентированные по спину электроны возбуждались на широкозонной поверхности структуры циркулярно поляризованным излучением гелий-неонового лазера ( $h\nu=1.96$  эВ).

7. Экспериментальные серии спектров поляризованной фотолюминесценции  $P(h\nu)$  исследуемых структур при различных значениях магнитного поля представлены на рис. 5, 6.

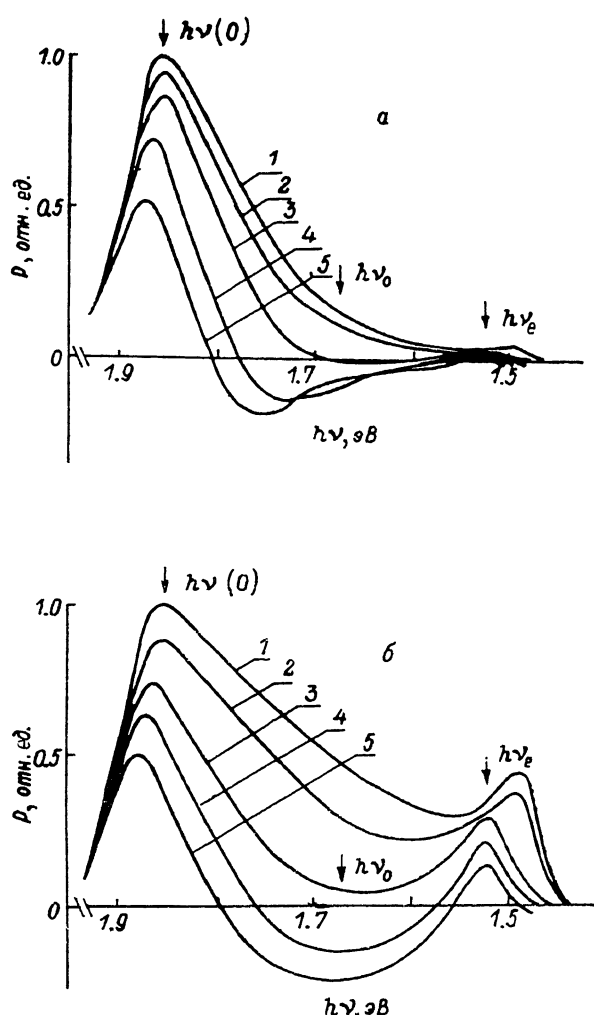


Рис. 6. Спектры поляризованной фотолюминесценции варизонных структур 1 (а) и 2 (б) при 30 К и различных магнитных полях.

а)  $H$ , кЭ: 1 — 0, 2 — 1, 3 — 2, 4 — 3, 5 — 4; б)  $H$ , кЭ: 1 — 0, 2 — 2, 3 — 3, 4 — 4, 5 — 5.5.

В осциллирующих знакопеременных спектрах имеются две характерные спектральные области в окрестности точек  $h\nu(0)$  и  $h\nu_e$ , где при любых значениях  $H$  наблюдается максимум  $P(h\nu)$ .<sup>1</sup> Первый максимум  $P(h\nu(0))$  соответствует излучению из приповерхностной области, где происходит возбуждение ориентированных электронов, второй максимум  $P(h\nu_e)$  — спиновому эху.

В спектрах поляризованной фотолюминесценции, полученных путем интегрирования люминесцентного сигнала по времени, когда магнитное поле изменялось синусоидально с амплитудой 6 кЭ (см. вставки на рис. 5, а, б),

<sup>1</sup> В спектрах, снятых в отсутствие магнитного поля, при  $h\nu=1.49$  эВ имеется максимум, который связан с подкоплением вблизи узковоенной поверхности структуры электронных спинов, продрейфовавших через всю структуру. Этот максимум исчезает уже при сравнительно малых  $H$ .

остаются только две полосы поляризованного излучения с максимумами при  $h\nu(0)$  и  $h\nu_e$ .

Рассмотрим влияние параметров структур  $g(0)$  и  $|dg/dx|$ , изменяющих расстояние от широкозонной поверхности до точки  $x_0$ , на спектральное положение и амплитуду спинового эха.

Уменьшение  $g(0)$  (для этого удалялся травлением слой толщиной 3 мкм со стороны широкозонной поверхности структуры 1), сопровождающееся умень-

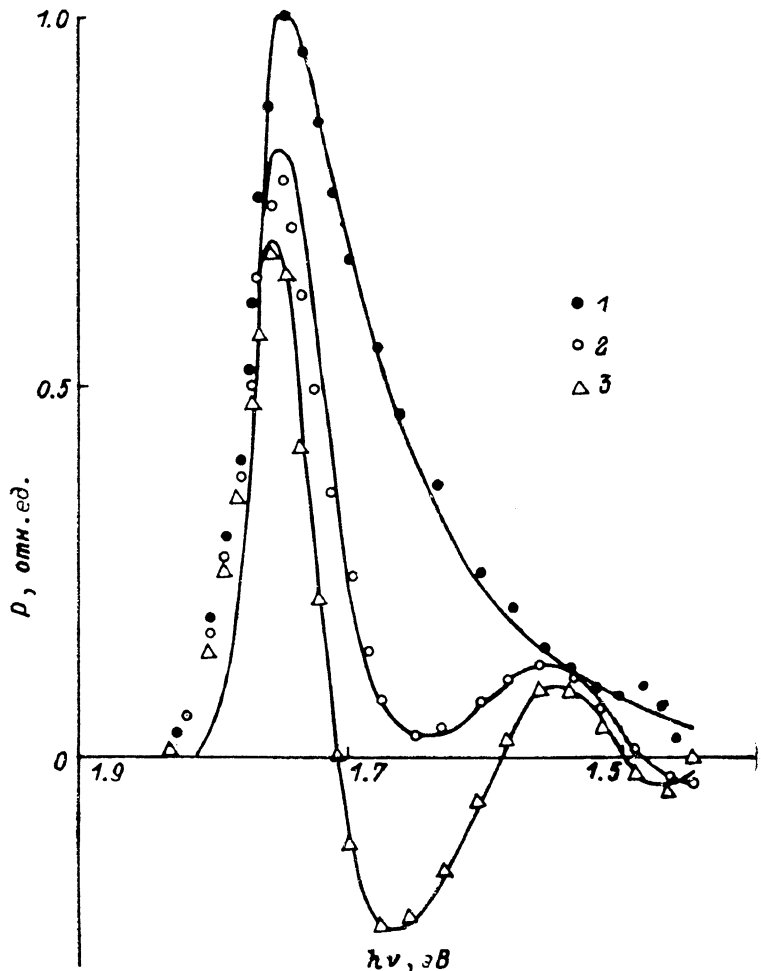


Рис. 7. Спектры поляризованной фотолюминесценции структуры 1 при  $T=20$  К и различных магнитных полях  $H$ .

$H$ , кЭ: 1 — 0, 2 — 3.5, 3 — 5.5. Сплошные кривые — расчет.

шением  $E_g(0)$  при неизменном  $|dg/dx|$ , уменьшает  $x_0$  и, следовательно,  $x_e=2x_0$ . Это смешает  $h\nu(0)$  в длинноволновую область, поскольку уменьшилось  $E_g(0)$ , а  $h\nu_e$  — в коротковолновую, поскольку увеличилось  $E_g(x_e)$  из-за того, что  $x_e$  приблизилось к  $x_0$ , а  $E_g(x_0)$ , естественно, не изменяется (рис. 5, а, б). Амплитуда поляризованного сигнала в области спинового эха  $h\nu_e$  из-за приближения  $x_e$  к широкозонной поверхности (после травления структуры) увеличивается, поскольку вектор  $S$  релаксирует на меньшую величину.

Увеличение  $|dg/dx|$  при неизменном  $g(0)$  (именно этим отличается структура 2 от структуры 1), также уменьшающее  $x_0$  и, следовательно,  $x_e$ , не приводит, однако, к изменению положения в спектре поляризованной фотолюминесценции ни  $h\nu(0)$ , так как  $E_g(0)$  по условию одно и то же, ни  $h\nu_e$ , так как

$E_g(x_e)$  в этом случае остается неизменным, поскольку  $g(x_e) = -g(0)$  (рис. 6, а, б). Амплитуда сигнала спинового эха в структуре с большим  $|\nabla E_g|$  оказывается большей как из-за меньшего  $x_e$ , так и из-за большей скорости дрейфа электронных спинов, приводящей к росту длины их смещения.

Следует отметить, что в реальных структурах положение  $x_e$  относительно  $x_0$  не является точным зеркальным отражением начала координат, поскольку  $|\nabla E_g|$  и  $|\nabla g|$  в них не строго постоянны.

Таким образом, экспериментально наблюдаемые закономерности спинового эха находятся в полном качественном соответствии с предсказаниями теории.

8. Для количественного сравнения результатов эксперимента с теорией необходимо знать параметры переноса ориентированных электронных спинов ( $\mu$  и  $T_s$ ) и учесть искажения спектров  $P(h\nu)$  относительно распределения  $S_x(x_e)$ , обусловленные конечной полушириной спектра элементарного излучателя.

Параметры переноса определялись следующим образом.

Из спектров поляризованной фотолюминесценции без магнитного поля определялись дрейфовая  $l_s$  и диффузионная  $L_s$  длины ориентированных электронных спинов, а также произведение  $\mu T_s$  [5].

Значения  $T_s$  получались из анализа спектров поляризованной фотолюминесценции в поперечном магнитном поле методом, изложенным в [8]. В этом методе экспериментально находится значение напряженности магнитного поля  $H^*$ , при котором сигнал поляризации и его производная в точке  $h\nu_0$  равны нулю, и  $T_s$  вычисляется из приближенного соотношения

$$T_s = \frac{\hbar}{\mu_B [g(0)]^2 H^*} \frac{2l_s^2}{2l_s - L_s} \left| \frac{dg}{dx} \right|. \quad (7)$$

Значение параметра  $\gamma_s$  оценивалось по полуширине спектра поляризованной фотолюминесценции, измеренного при возбуждении и регистрации ее с узконаправленной стороны структуры.

Сравнение экспериментальных спектров поляризованной фотолюминесценции, в которых проявляется спиновое эхо, с результатами расчета (при значениях параметров  $T_s = 3.2 \cdot 10^{-10}$  с,  $\mu = 5600 \text{ см}^2/\text{В}\cdot\text{с}$ ,  $\gamma_s = 20 \text{ мэВ}$ ) показывает (рис. 7), что эксперимент достаточно хорошо количественно описывается теорией.

9. Итак, в работе даны концептуальное, теоретическое и экспериментальное представления о новом явлении — спиновом эха в системе свободных электронов полупроводника и продемонстрировано качественное и количественное согласие эксперимента с теорией.

#### Список литературы

- [1] Волков А. С., Липко А. Л., Минаков С. Е., Царенков Б. В. // ФТП. 1985. Т. 19. В. 7. С. 1277—1282.
- [2] Волков А. С., Липко А. Л., Меретлиев Ш. М., Царенков Б. В. // Письма ЖЭТФ. 1985. Т. 41. В. 11. С. 458—460.
- [3] Померанцев Н. М. // УФН. 1958. Т. 65. В. 1. С. 87—100.
- [4] Салихов К. М., Семенов А. Г., Цветков Ю. Д. Электронное спиновое эхо и его применение. Новосибирск, 1976. 344 с.
- [5] Волков А. С., Царенков Б. В. // ФТП. 1977. Т. 11. В. 9. С. 1709—1717.
- [6] Голонъяк Н. Н. // ФТП. 1985. Т. 19. В. 9. С. 1529—1557.
- [7] Weisbuch C., Hermann C. // Phys. Rev. B. 1977. V. 15. N 2. P. 816—822.
- [8] Волков А. С., Волкова И. К., Липко А. Л., Меретлиев Ш. М., Царенков Б. В. // ФТП. 1987. Т. 21. В. 10. С. 1893—1893.